

## 大型レーザーレーダーの測定感度に関する考察

Sensitivity Evaluation for a Large scale Laser Radar

著者 松井 一郎 桜木 伸夫 筱野泰弘 竹内達夫 奥田典夫  
 Hiroshi Shimizu Ichiro Matsui Nobuo Sugimoto Yasuhiro Sasano  
 Nobuo Takeuchi and Michio Okuda

日本公害研究所  
 The National Institute for Environmental Studies

1. はじめに、日本公害研究所で完成した大型レーザーレーダーは半径 50~60 km からのミー散乱と、半径 2~3 km の領域の大気のメタメータニオネントによるラマン散乱を測定することを目的としている。ここでは、この装置を用いた測定における感度の理論的計算と、実験結果を比較することを目的とする。

2. 測定感度の理論的検討 本装置の基本的性能を表 1 に示す。レーザーには Nd:YAG レーザーとそのオフ高調波を使用している。測定感度の計算式は大型レーザーレーダーの基本的特性算定式を良く用いられる式であるが、レーザーレーダー方程式から得られる信号強度を S/N 式に代入して、S/N の値を取める式である。レーザーレーダー方程式の方程式式は次式で求められる。

$$n(R) = m_0 L P K \beta T^2 A_r Y_r \eta / R^2 \quad (1)$$

$$S/N = \frac{n(R)}{\sqrt{m_0 n(R) + 2 N_b}} \quad (2)$$

|                                   |   |
|-----------------------------------|---|
| レーザー<br>種類<br>出力<br>繰返し<br>ビーム拡がり | Nd:YAG オフ高調波<br>1.2 J/pulse 0.4 J/pulse<br>25 pps<br>0.3 mrad |
| 望遠鏡<br>型式<br>主鏡有効径                | カセグレン型反射望遠鏡<br>1.5 m  |

ここで、 $n(R)$  は受信

表 2 パラメータの定義とその値

される信号量であり、  
他のパラメータの定義  
と、本レーザーレーダー<sup>1</sup>  
における値、さらに、  
典型的な測定条件における  
値を表 2 に示して  
ある。また背景光量は  
次式で求められる。

$$N_b =$$

$$\frac{N_A \Omega f K A_r L P \eta}{h \nu c} \quad (3)$$

(3) 式における各パラメータの定義とその値を表 2 に示してある。

表 2 の値を (1) 式  
および (3) 式に代入すると  
、信号量と背景光量  
は次式となる。

| 記号         | 定義 (単位)                   | 基本波                  | オフ高調波                |
|------------|---------------------------|----------------------|----------------------|
| $m_0$      | レーザー ハーフスの光子数 (光子数/ハーフス)  | $4.3 \times 10^{18}$ | $1.1 \times 10^{18}$ |
| $K$        | 光子系の効率 (%)                | 0.27                 | 0.16                 |
| $A_r$      | 主鏡の有効面積 ( $m^2$ )         | -                    | 1.7                  |
| $\eta$     | 幾何学的効率                    | -                    | 1                    |
| $\epsilon$ | 検出器の量子効率 (%)              | 0.1                  | 0.8                  |
| $N_A$      | 背景光量 ( $W/mm sr m^2$ )    | $2.9 \times 10^{-3}$ | $2 \times 10^{-2}$   |
| $K$        | ミー散乱パラメータ                 | -                    | 90                   |
| $\Omega$   | 受信立体角 (sr)                | -                    | $7.1 \times 10^{-8}$ |
| $f$        | フィルタのバンド幅 (nm)            | 0.5                  | 0.1                  |
| <br>       | <br>                      | <br>                 | <br>                 |
| $R$        | 測定距離 (km)                 | -                    | 50                   |
| $P$        | レーザーのハーフス数 (ハーフス数/1 秒の測定) | -                    | 286                  |
| $L$        | 距離分解能 (m)                 | -                    | 750                  |
| $V$        | 視程 (km)                   | -                    | 30                   |
| $t_m$      | 測定時間 (min)                | -                    | 20                   |
| $S/N$      | $S/N$                     | -                    | 10                   |
| $S$        | 測定領域                      | $R$ を半径とする $1/4$ 円   | -                    |

$$M(R) = 2.2 \times 10^{13} L P \propto T^2 / R^2 \quad (\text{基本波}) \quad (4)$$

$$M(R) = 3.9 \times 10^{14} L P \propto T^2 / R^2 \quad (\text{第2高調波}) \quad (5)$$

$$M_b = 1.7 \times 10^{-3} L P \quad (\text{基本波}) \quad (6)$$

$$M_b = 8.2 \times 10^{-2} L P \quad (\text{第2高調波}) \quad (7)$$

ところが、実験の測定において測定感度に影響を与えるのは光の透過率  $T$  である。  $T$  は光の減衰率であり、次式で求められる。

$$T = \exp(-\sigma R) \quad (8)$$

$\sigma$  と視程  $V$  との関係は Woodman によると、

$$\sigma = \frac{3.91}{V} \left( \frac{0.55}{\lambda} \right)^{1.3} \quad (9)$$

ここで入射波長である。(8)(9) 式を (4)(5) 式に代入し、さらに  $S/N$  式に入れると、表 3 に示すようになる。本装置における  $S/N$  の測定条件として要求された値は 10 であるから、この条件を満たすには、基本波長における  $V$  と  $\lambda$  の条件があり、第 2 高調波では測定が困難である。これは、可視光は近赤外光に比べて減衰が著しく大きいことにによる。

レーザーレースーの測定では、条件が変われば感度も大きく変化する。図 1 は視程を 10 ラム - 100 ラムの場合の測定距離に対する  $S/N$  の計算値である。同図によれば、視程が 50 km 程度まで良いのは、第 2 高調波でも 50 km 遠方まで測定が十分可能である。

3. 測定結果との比較  $S/N$  の測定値はレーザーレースーで繰り返し測定し、測定距離ごとに平均値に対する標準偏差を計算することにより求められた。この測定における  $S/N$  の値に影響するのは、上記の検出器による  $S/N$  の他に、レーザーのぶらつき、および信号処理装置で発生する電気的雑音がある。これらの誤差を  $\delta$  とすると、 $S/N$  の測定値は次式で求められる。

$$(S/N)_M = 1 / \sqrt{\delta^2/P + V(S/N)^2} \quad (10)$$

本レーザーレースー装置の場合、 $\delta$  の値に最も影響するものは、レーザーハーフの活動である。一般にレーザーハーフの活動の影響は、レーザーハーフのモニターを行ない、信号を想定化することによりキャニセルされるが、今回の測定においては、これを行っていないため、これによる誤差は 30% 程度である。大気状態の変化分も 10% 程度である。

図 2 に測定例を示す。この測定ではレーザーのパルス数を 100 パルス、距離分解能 75 m の条件を用いている。また、レーザー波長は 532 nm、測定時間は 120 s の場合の計算値であり、実線表示したのが実験値である。両者の間に良い一致が見られる。

4. まとめ、本レーザーレースー装置は飛行機の測定において、総合的に見て、予想設計通り動作し、これが  $S/N$  の測定より確認された。

表 3  $S/N$  の計算値

|        | 夜   |      |
|--------|-----|------|
| 基本波長   | 14  | 14   |
| 第2高調波長 | 1.7 | 0.03 |

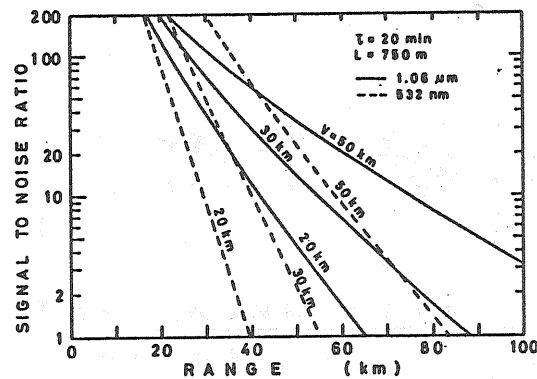


図 1  $S/N$  の計算値

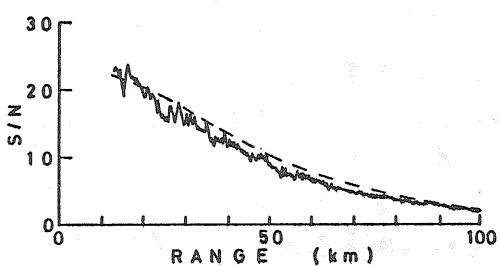


図 2  $S/N$  の測定結果